Università di Genova



Macchine di Turing Quantistiche

Relatori

Francesco Dagnino

Elena Zucca

Candidato

Pietro Zignaigo

16-12-2024

Introduzione

Macchina di Turing quantistica

Funzioni calcolabili quantistiche

Conclusione

 Informazione in un computer quantistico = sovrapposizione di stati discreti

- Informazione in un computer quantistico = sovrapposizione di stati discreti
- Unità minima di informazione quantistica: gubit

$$1|\mathbf{0}\rangle + 0|\mathbf{1}\rangle$$
 $0|\mathbf{0}\rangle + 1|\mathbf{1}\rangle$

$$\frac{1}{\sqrt{2}}|\mathbf{0}\rangle + \frac{1}{\sqrt{2}}|\mathbf{1}\rangle \qquad \frac{1}{\sqrt{2}}|\mathbf{0}\rangle + i\frac{1}{\sqrt{2}}|\mathbf{1}\rangle$$

$$\frac{1}{\sqrt{2}}|\mathbf{0}\rangle + \frac{1}{\sqrt{2}}|\mathbf{1}\rangle \qquad \frac{1}{\sqrt{2}}|\mathbf{0}\rangle + i\frac{1}{\sqrt{2}}|\mathbf{1}\rangle$$

- Osservazione:
 - □ Si ottiene 1 o 0
 - □ Probabilità dipendente dai pesi
 - \square Collasso su $|\mathbf{0}\rangle$ o su $|\mathbf{1}\rangle$

$$\frac{1}{\sqrt{2}}|\mathbf{0}\rangle + \frac{1}{\sqrt{2}}|\mathbf{1}\rangle \qquad \frac{1}{\sqrt{2}}|\mathbf{0}\rangle + i\frac{1}{\sqrt{2}}|\mathbf{1}\rangle$$

- Osservazione:
 - □ Si ottiene 1 o 0
 - □ Probabilità dipendente dai pesi
 - \Box Collasso su $|\mathbf{0}\rangle$ o su $|\mathbf{1}\rangle$
- Quantum advantage: per certi problemi, complessità algoritmi quantistici < complessità algoritmi classici

Spazi di Hilbert

lacksquare Spazio di Hilbert generato da ${\cal B}$

$$\ell^2(\mathcal{B}) = \left\{ \phi : \mathcal{B} \to \mathbb{C} \;\middle|\; \|\phi\|^2 = \sum_{\mathcal{C} \in \mathcal{B}} |\phi(\mathcal{C})|^2 < \infty \right\}$$

Spazi di Hilbert

lacksquare Spazio di Hilbert generato da ${\cal B}$

$$\ell^2(\mathcal{B}) = \left\{ \phi : \mathcal{B} \to \mathbb{C} \;\middle|\; \|\phi\|^2 = \sum_{\mathcal{C} \in \mathcal{B}} |\phi(\mathcal{C})|^2 < \infty \right\}$$

• Prendiamo in considerazione solo ℓ_1^2

$$\ell_1^2(\mathcal{B}) = \left\{ \phi \in \ell^2(\mathcal{B}) \mid \|\phi\|^2 = 1 \right\}$$

Operatori

■ Trasformazione stato quantistico = operatore lineare = matrice $\mathcal{B} \times \mathcal{B}$

Operatori

- Trasformazione stato quantistico = operatore lineare = matrice $\mathcal{B} \times \mathcal{B}$
- Possono essere usati solo operatori unitari
 - \square invertibili \rightarrow meccanica quantistica è reversibile
 - \square conservano la norma o per rimanere in $\ell_1^2(\mathcal{B})$

Verso le macchine di Turing quantistiche

fino ad ora

modello fisico (hardware)

- basato su qubit
- estende circuiti classici

Verso le macchine di Turing quantistiche

fino ad ora

modello fisico (hardware)

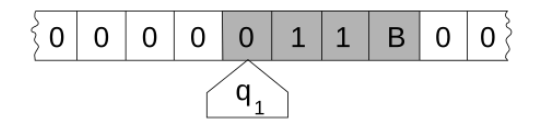
- basato su qubit
- estende circuiti classici

obiettivo

formalismo più astratto (software)

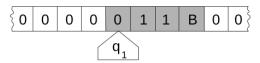
- descrive tutti gli algoritmi quantistici
- estende Macchine di Turing classiche

Macchina di Turing



■ Modello matematico per descrivere tutti gli algoritmi

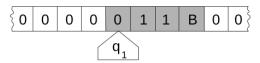
Configurazioni



Configurazione di una macchina di Turing

$$\langle \alpha, q, \beta, i \rangle \in \Sigma^* \times \mathcal{Q} \times \Sigma^* \times \mathbb{Z}$$

Configurazioni

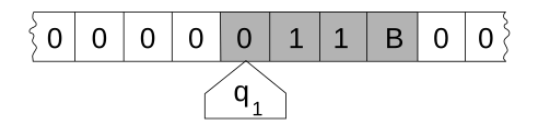


Configurazione di una macchina di Turing

$$\langle \alpha, q, \beta, i \rangle \in \Sigma^* \times \mathcal{Q} \times \Sigma^* \times \mathbb{Z}$$

$$\mathfrak{C}_M = \Sigma^{\star} \times \mathcal{Q} \times \Sigma^{\star} \times \mathbb{Z} \times \mathbb{N}$$

Configurazioni



$$\mathfrak{C}_{M} = \Sigma^{\star} \times \mathcal{Q} \times \Sigma^{\star} \times \mathbb{Z} \times \mathbb{N}$$

Q-configurazione

elemento di $\ell_1^2(\mathfrak{C}_M)=$ sovrapposizione di configurazioni

9 di 16

Pre-macchina di Turing quantistica

$$\textit{M} = \langle \Sigma \times \mathcal{Q} \times \mathcal{Q}_s \times \mathcal{Q}_t \times \delta \times \textit{q}_i \times \textit{q}_f \rangle$$

Pre-macchina di Turing quantistica

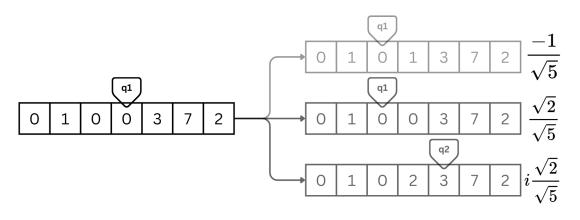
$$M = \langle \Sigma \times \mathcal{Q} \times \mathcal{Q}_s \times \mathcal{Q}_t \times \delta \times q_i \times q_f \rangle$$

Funzione di transizione

$$\delta: (\mathcal{Q} \backslash \mathcal{Q}_t) \times \Sigma \to \ell^2_1((\mathcal{Q} \backslash \mathcal{Q}_s) \times \Sigma \times \{L,R\})$$

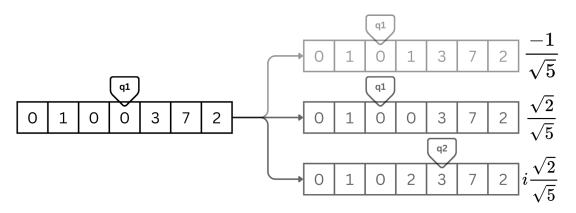
 $\bullet \ U_M:\ell^2(\mathfrak{C}_M)\to\ell^2(\mathfrak{C}_M)$

- $U_M: \ell^2(\mathfrak{C}_M) \to \ell^2(\mathfrak{C}_M)$
- lacksquare Definiamo U_M su ogni $C\in \mathfrak{C}_M$ a partire da δ



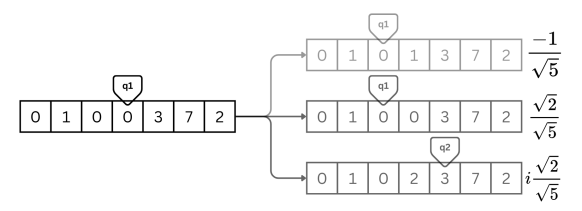
11 di 16

- $U_M: \ell^2(\mathfrak{C}_M) \to \ell^2(\mathfrak{C}_M)$
- lacksquare Definiamo U_M su ogni $C\in \mathfrak{C}_M$ a partire da δ



• Una pre-macchina di Turing quantistica è una macchina di Turing quantistica se U_M è unitario

- $U_M: \ell^2(\mathfrak{C}_M) \to \ell^2(\mathfrak{C}_M)$
- lacksquare Definiamo U_M su ogni $C\in \mathfrak{C}_M$ a partire da δ



- Una pre-macchina di Turing quantistica è una macchina di Turing quantistica se U_M è unitario
- U_M unitario se δ rispetta certe condizioni

11 di 16

Computazioni e osservazioni

■ Una computazione è una sequenza $(|\phi_i\rangle)_{i\in\mathbb{N}}$ con $|\phi_0\rangle$ iniziale tale che

$$|\phi_0\rangle \xrightarrow{U_M} |\phi_1\rangle \xrightarrow{U_M} |\phi_2\rangle \xrightarrow{U_M} \dots \xrightarrow{U_M} |\phi_i\rangle \xrightarrow{U_M} \dots$$

Computazioni e osservazioni

■ Una computazione è una sequenza $(|\phi_i\rangle)_{i\in\mathbb{N}}$ con $|\phi_0\rangle$ iniziale tale che

$$|\phi_0\rangle \xrightarrow{U_M} |\phi_1\rangle \xrightarrow{U_M} |\phi_2\rangle \xrightarrow{U_M} \dots \xrightarrow{U_M} |\phi_i\rangle \xrightarrow{U_M} \dots$$

$$\mathcal{P}_{|\phi_0\rangle} \to \mathcal{P}_{|\phi_1\rangle} \to \mathcal{P}_{|\phi_2\rangle} \to \cdots \to \mathcal{P}_{|\phi_i\rangle} \to \cdots$$

 $\mathcal{P}_{|\phi\rangle}(n)=$ probabilità di ottenere una configurazione finale con n simboli 1 sul nastro osservando $|\phi\rangle$

Computazioni e osservazioni

■ Una computazione è una sequenza $(|\phi_i\rangle)_{i\in\mathbb{N}}$ con $|\phi_0\rangle$ iniziale tale che

$$|\phi_0\rangle \xrightarrow{U_M} |\phi_1\rangle \xrightarrow{U_M} |\phi_2\rangle \xrightarrow{U_M} \dots \xrightarrow{U_M} |\phi_i\rangle \xrightarrow{U_M} \dots$$

$$\mathcal{P}_{|\phi_0\rangle} \to \mathcal{P}_{|\phi_1\rangle} \to \mathcal{P}_{|\phi_2\rangle} \to \cdots \to \mathcal{P}_{|\phi_i\rangle} \to \cdots$$

 $\mathcal{P}_{|\phi\rangle}(n)=$ probabilità di ottenere una configurazione finale con n simboli 1 sul nastro osservando $|\phi\rangle$

■ Partial Probability Distribution (PPD): funzione $\mathcal{P}: \mathbb{N} \to \mathbb{R}_{[0,1]}$ tale che $\sum_{n \in \mathbb{N}} \mathcal{P}(n) \leq 1$ Probability Distribution (PD): *PPD* tale che $\sum_{n \in \mathbb{N}} \mathcal{P}(n) = 1$

12 di 16

$$\mathcal{P}_{|\phi_0\rangle} \to \mathcal{P}_{|\phi_1\rangle} \to \mathcal{P}_{|\phi_2\rangle} \to \cdots \to \mathcal{P}_{|\phi_i\rangle} \to \ldots$$

Risultato della computazione: $\lim_{i o \infty} \mathcal{P}_{|\phi_i
angle}$

$$\mathcal{P}_{|\phi_0\rangle} \to \mathcal{P}_{|\phi_1\rangle} \to \mathcal{P}_{|\phi_2\rangle} \to \cdots \to \mathcal{P}_{|\phi_i\rangle} \to \ldots$$

Risultato della computazione: $\lim_{i \to \infty} \mathcal{P}_{|\phi_i\rangle}$ Una data computazione può

1. Produrre una PD in un numero di passi finito

$$\mathcal{P}_{|\phi_0\rangle} \to \mathcal{P}_{|\phi_1\rangle} \to \mathcal{P}_{|\phi_2\rangle} \to \cdots \to \mathcal{P}_{|\phi_i\rangle} \to \ldots$$

Risultato della computazione: $\lim_{i \to \infty} \mathcal{P}_{|\phi_i\rangle}$ Una data computazione può

- 1. Produrre una PD in un numero di passi finito
- 2. Non produrre una *PD* in un numero di passi finito, ma avere una *PD* come limite (*Almost sure termination*)

$$\mathcal{P}_{|\phi_0\rangle} \to \mathcal{P}_{|\phi_1\rangle} \to \mathcal{P}_{|\phi_2\rangle} \to \cdots \to \mathcal{P}_{|\phi_i\rangle} \to \ldots$$

Risultato della computazione: $\lim_{i \to \infty} \mathcal{P}_{|\phi_i\rangle}$ Una data computazione può

- 1. Produrre una PD in un numero di passi finito
- 2. Non produrre una *PD* in un numero di passi finito, ma avere una *PD* come limite (*Almost sure termination*)
- 3. Non avere una PD come PPD limite

• Caso classico: $f: \mathbb{N} \to \mathbb{N}$ parziale

- Caso classico: $f : \mathbb{N} \to \mathbb{N}$ parziale
- Caso quantistico: $f:\ell^2_1(\mathbb{N}) \to PPD$

- Caso classico: $f : \mathbb{N} \to \mathbb{N}$ parziale
- Caso quantistico: $f: \ell_1^2(\mathbb{N}) \to PPD$
- lacksquare Codifichiamo $\ell_1^2(\mathbb{N})$ in $\ell_1^2(\mathfrak{C}_M^{\mathit{init}})$

- Caso classico: $f : \mathbb{N} \to \mathbb{N}$ parziale
- Caso quantistico: $f: \ell^2_1(\mathbb{N}) \to PPD$
- Codifichiamo $\ell_1^2(\mathbb{N})$ in $\ell_1^2(\mathfrak{C}_M^{init})$
- $f_{\mathcal{M}}(|\psi\rangle) = \lim_{i \to \infty} \mathcal{P}_{|\phi_i\rangle}$ è la funzione calcolata da M $|\phi_0\rangle = \text{codifica di } |\psi\rangle \in \ell^2_1(\mathbb{N})$

- Caso classico: $f : \mathbb{N} \to \mathbb{N}$ parziale
- Caso quantistico: $f: \ell^2_1(\mathbb{N}) \to PPD$
- Codifichiamo $\ell_1^2(\mathbb{N})$ in $\ell_1^2(\mathfrak{C}_M^{init})$
- $f_{\mathcal{M}}(|\psi\rangle) = \lim_{i \to \infty} \mathcal{P}_{|\phi_i\rangle}$ è la funzione calcolata da M $|\phi_0\rangle = \text{codifica di } |\psi\rangle \in \ell_1^2(\mathbb{N})$
- Funzione calcolabile quantistica: funzione calcolata da M per qualche M

Conclusione

 Il modello di MTQ qui presentato è preso da Guerrini, Martini e Masin Quantum Turing Machines: Computations and Measurements (2020)

Conclusione

- Il modello di MTQ qui presentato è preso da Guerrini, Martini e Masin Quantum Turing Machines: Computations and Measurements (2020)
- Non ho parlato del protocollo di misurazione

Conclusione

- Il modello di MTQ qui presentato è preso da Guerrini, Martini e Masin Quantum Turing Machines: Computations and Measurements (2020)
- Non ho parlato del protocollo di misurazione
- Esistono modelli precedenti, in particolare quello di Deutsch (1985) e di Bernstein e Vazirani (1997)

Grazie per l'attenzione!